

УДК 621.56:621.74

В.В. Клименко, М.В. Личук, М.В. Босий

Кіровоградський національний технічний університет, пр. Університетський, 8, м. Кіровоград, 25006

ЗАСТОСУВАННЯ МЕТОДУ БРАНДОНА ДЛЯ ОТРИМАННЯ ЕМПІРИЧНОГО РІВНЯННЯ КІНЕТИКИ ПРОЦЕСУ ГІДРАТОУТВОРЕННЯ

Обґрунтовано доцільність застосування методу Брандона для отримання емпіричного рівняння кінетики процесу гідратоутворення. Розглянуто приклад обробки за алгоритмом Брандона експериментальних даних зі швидкості утворення газогідратів при акумулюванні холоду для отримання рівняння кінетики процесу. Оцінено адекватність отриманого рівняння за критеріями Фішера і Стьюдента та показано, що воно описує швидкість гідратоутворення зі середньою відносною похибкою 4,8%.

Ключові слова: – Газогідрати – Процес гідратоутворення – Акумулювання холоду – Метод Брандона – Емпіричне рівняння кінетики – Критерій Стьюдента – Критерій Фішера

В.В. Клименко, М.В. Личук, Н.В. Босий

Кіровоградський національний технічний університет, пр. Університетський, 8, г. Кіровоград, 25006

ПРИМЕНЕНИЕ МЕТОДА БРАНДОНА ДЛЯ ПОЛУЧЕНИЯ ЭМПИРИЧЕСКОГО УРАВНЕНИЯ КИНЕТИКИ ПРОЦЕССА ГИДРАТООБРАЗОВАНИЯ

Обоснована целесообразность применения метода Брандона для получения эмпирического уравнения кинетики процесса гидратообразования. Рассмотрен пример обработки по алгоритму Брандона экспериментальных данных по скорости образования газгидратов при аккумуляции холода для получения уравнения кинетики процесса. Оценена адекватность полученного уравнения по критерию Фишера и Стьюдента и показано, что оно описывает скорость гидратообразования со средней относительной погрешностью 4,8%.

Ключевые слова: – Газгидраты – Процесс гидратообразования – Аккумуляция холода – Метод Брандона – Эмпирическое уравнение кинетики – Критерий Стьюдента – Критерий Фишера

V.V. Klymenko, M.V. Lychuk, M.V. Bosiy

Kirovograd National Technical University, Avenue Universite , 8, Kirovograd, 25006

APPLICATION OF BRANDON FOR EMPIRICAL EQUATIONS KINETICS OF HYDRATE FORMATION PROCESS

The appropriateness of the method Brandon empirical equation for the kinetics of hydrate formation process. An example of processing the algorithm Brandon experimental data on the rate of formation of gas hydrates in cold accumulation equation receiving a kinetic equation of the process. Assessed the adequacy of the resulting equation by Fisher's exact test and Student's test and shown that it describes the rate of hydrate formation with an average relative error of 4,8 %.

Keywords – Hydrates – The process of hydrate formation – Accumulation of cold – Method Brandon – Empirical kinetic equation – Student's test – Fisher's test

I. ВСТУП.

Процес утворення газогідратів відноситься до основних процесів різноманітних газогідратних технологій [1, 2].

Для розрахунку кінетики процесу, характеристикою якого є, найчастіше, швидкість гідратоутворення, використовують емпіричні та напівемпіричні рівняння, які у загальному вигляді можна виразити наступною залежністю

$$r = f(x_1, x_2, x_3 \dots x_k) \quad (1)$$

де x_1, \dots, x_k – вхідні параметри, які впливають на швидкість гідратоутворення.

Наближено цю функцію можна представити у вигляді добутку окремих функцій, що залежать від кожного з параметрів

$$r \approx f_1(x_1) f_2(x_2) f_3(x_3) \dots f_k(x_k). \quad (2)$$

Якщо зафіксувати значення всіх параметрів, крім одного x_i , то можна отримати емпіричним шляхом функцію:

$$r \approx Af_i(x_i). \quad (3)$$

Отримання цих рівнянь вимагає проведення досить складних експериментів, в яких необхідно, досліджувати залежність швидкості гідратування послідовно від кожного параметру підтримуючи при цьому постійними усі інші параметри. Якщо при проведенні експериментів такі умови не можна забезпечити, то тоді для отримання емпіричного рівняння кінетики доцільно використовувати метод Брандона [3, 4].

Нижче розглянуто застосування методу Брандона для подібного випадку.

II. ОСНОВНА ЧАСТИНА

В роботі [5] приведено результати неранжированих експериментальних досліджень кінетики утворення газогідратів R-12 при акумулюванні холоду. Досліджувався вплив різниці температур гідратування Δt_2 , відносної кількості заправленого в кристалізатор гідратууючого агента ψ і часу протікання процесу гідратування τ на кінетику процесу. Оскільки умови проведення експериментів не дозволили отримати рівняння типу (3), тому автору [5] не вдалося отримати рівняння кінетики як залежність швидкості утворення газогідратів від згаданих вище параметрів.

Розглянемо встановлення за методом Брандона для цього випадку виду залежності r від $\Delta t_2, \psi, \tau$.

В процесі експериментів входні параметри змінювалися в наступних межах: $\Delta t_2 = 1 \dots 3,9$ °C, $\psi = 0,063 \dots 0,17$, $\tau = 6 \cdot 10^2 \dots 4,2 \cdot 10^3$ с, а r – в межах $0,1296 \dots 0,6883$ кг H₂O/ м³·с (табл.1).

Таблиця 1 – Експериментальні дані з дослідження кінетики процесу гідратування

№ п/п	$r, \frac{\text{кг} \cdot \text{H}_2\text{O}}{\text{м}^3 \cdot \text{с}}$	$\Delta t_2, \text{°C}$	$\psi, \frac{\text{кг}}{\text{кг}}$	$\tau, \text{с}$
1.	0,5157	2,8	0,064	576
2.	0,2263	2,5	0,0337	2376
3.	0,1370	2,3	0,0055	4176
4.	0,4820	4,4	0,0640	576
5.	0,1816	3,3	0,0359	2376
6.	0,1296	4,4	0,0180	4176
7.	0,3462	2,3	0,0640	317
8.	0,3880	0,4	0,0535	576
9.	0,3440	0,4	0,0530	900
10.	0,300	0,5	0,0160	1512
11.	0,2582	1,8	0,050	2088
12.	0,2456	2,1	0,064	2376
13.	0,6883	3,0	0,044	299
14.	0,4760	0,8	0,036	576
15.	0,3880	0,8	0,047	900
16.	0,3066	0,9	0,0420	1512
17.	0,2766	1,6	0,0144	1800
18.	0,5018	2,3	0,120	576
19.	0,3166	0,5	0,0450	2376
20.	0,2568	1,1	0,0476	2232

D.V. Brandon запропонував для отримання багатофакторної моделі розділити дослідження на

два етапи: по-перше, встановити прості однофакторні залежності, які зв'язують кожен із факторів з вихідним параметром, а по-друге, побудувати загальну модель як добуток цих залежностей [3].

На основі вищевказаного рівняння кінетики для процесу гідратування, що розглядається, можна записати у загальному вигляді як

$$r = A \cdot f_1(\Delta t_2) \cdot f_2(\psi) \cdot f_3(\tau), \quad (4)$$

Для визначення виду залежності $f_1(\Delta t_2)$ поле кореляції експериментальних даних, зображене в координатах $r - \Delta t_2$ (рис.1) розбиваємо на 5 рівних інтервалів. Всі точки, які потрапили в j -ий інтервал Δt_{2j} відносяться до його середини. Для цього визначаємо значення \bar{r}_j для кожного інтервалу.

$$\bar{r}_j = \sum_1^n r_j / n_j, \quad (5)$$

де n_j – число точок в інтервалі Δt_{2j} при цьому

$$\sum_1^n n_j = n \quad (n = 20, \text{ об'єм вибірки}).$$

З'єднуємо точки, які відповідають розрахованим значенням \bar{r}_j і отримаємо емпіричну лінію (ламану) регресії r_1 по Δt_2 , з характеру якої впливає доцільність її опису рівнянням регресії виду $r_1 = a \cdot \Delta t_2^b$.

Для степеневі функції коефіцієнти a і b розраховуються за наступними формулами [6]

$$b = \frac{\sum \ln x_i \cdot \ln y_i - 1/n \sum \ln x_i \cdot \sum \ln y_i}{\sum (\ln x_i)^2 - 1/n (\sum \ln x_i)^2}, \quad (6)$$

$$a = \exp[1/n (\sum \ln y_i - b \sum \ln x_i)], \quad (7)$$

де $x_i = \Delta t_{2i}$, $y_i = r_i$.

За формулами (6) і (7) визначаємо коефіцієнти a і b , використовуючи програму Mathcad і отримуємо рівняння залежності r_1 від Δt_2

$$r_1 = f_1(\Delta t_2) = \Delta t_2^{0,525}. \quad (8)$$

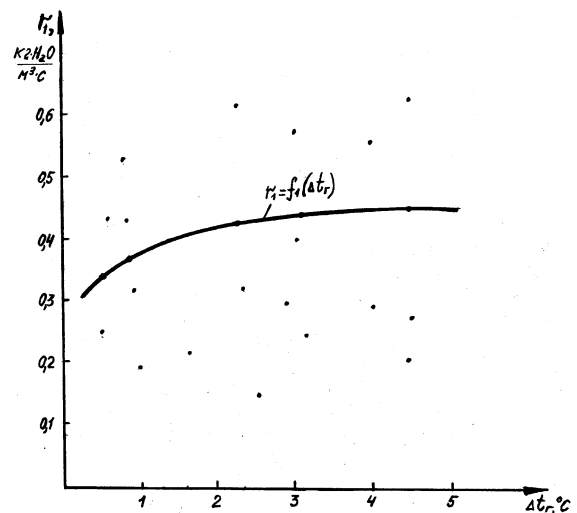


Рисунок 1 – Залежність r_1 від Δt_2

Далі розраховуємо дані нового фіктивного параметра r_2 :

$$r_2 = r_1 / f_2(\psi). \quad (9)$$

Провівши відповідну обробку даних, як і для випадку $r_1 = a\Delta t_2^b$, отримаємо рівняння

$$r_2 = f_2(\psi) = \psi^{0,288}. \quad (10)$$

Графічне зображення залежності r_2 від ψ наведено на рисунку 2.

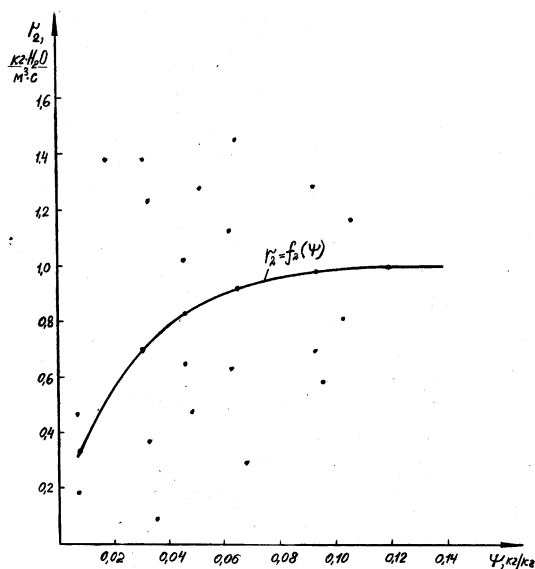


Рисунок 2 - Залежність r_2 від ψ

Наступний етап: розраховуємо дані нового фіктивного параметра r_3 аналогічно обробкою даних, як і при визначенні $r_1 = a \cdot \Delta t_2^b$ та $r_2 = r_1 / f_2(\psi)$

$$r_3 = r_2 / f_3(\tau). \quad (11)$$

Графік залежності r_3 від τ зображено лінією регресії виду $r_3 = f_3(\tau) = 1,1571 \cdot \tau^{-0,452}$ на рис. 3.

Розрахувавши значення r_1, r_2, r_3 визначаємо значення коефіцієнта A .

$$A = \frac{1}{20} \sum_1^n r_i = \frac{1}{20} \cdot 6,7564 = 0,3378. \quad (12)$$

Загальне рівняння кінетики процесу гідратуутворення має наступний вигляд:

$$r = 0,3378 \cdot \Delta t_2^{0,525} \cdot \psi^{0,288} \cdot 1,1571 \tau^{-0,452} = 0,391 \cdot \Delta t_2^{0,525} \cdot \psi^{0,288} \cdot \tau^{-0,452} \quad (13)$$

Адекватність рівняння кінетики процесу гідратуутворення перевіряємо за критерієм Фішера [7]

$$F = S_{\text{зал}}^2 / S_{\text{е}}^2 = 0,837 / 2,174 = 0,385, \quad (14)$$

де $S_{\text{зал}}^2$ – залишкова дисперсія визначає розкид експериментальних даних відносно рівняння регресії,

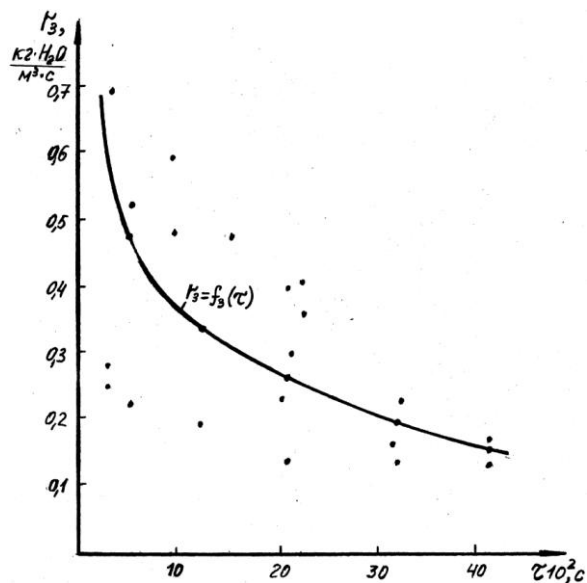


Рисунок 3 – Залежність r_3 від τ

$S_{\text{е}}^2$ – дисперсія відтворюваності, визначає величину випадкової похибки.

Значення $S_{\text{зал}}^2$ розраховуємо за формулою

$$S_{\text{зал}}^2 = \frac{1}{n - (m + 1)} \sum_1^n (r_i - f_1(x_1) \cdot f_2(x_2) \cdot f_3(x_3))^2, \quad (15)$$

де $n - (m + 1) = f_1$ – число степенів свободи, визначається як різниця кількості дослідних точок n і числа факторів, які оцінені за цими ж точками. $f_1 = 20 - (3 + 1) = 16$

$$S_{\text{зал}}^2 = \frac{\sum (6,765 - 6,770 \cdot 1,0838 \cdot 0,422)^2}{20 - (3 + 1)} = 0,837. \quad (16)$$

Значення дисперсії відтворюваності знаходять на стадії попереднього аналізу експериментальних даних. Для цього використовуємо залежність

$$S_{\text{е}}^2 = \frac{\sum (r_i - \bar{r})^2}{n - 1}, \quad (17)$$

де $n - 1 = f_2$ – число степенів свободи: $f_2 = 20 - 1 = 19$

$$S_{\text{е}}^2 = \frac{(6,7654 - 0,3378)^2}{20 - 1} = 2,174. \quad (18)$$

Визначивши розрахункове значення критерія Фішера за формулою (14) і порівнявши його з табличним $F_T = 2,30 > F = 0,385$ [7] для вибраних рівнів значущості $\alpha = 0,05$ і чисел степенів свободи $f_1 = 16$ і $f_2 = 19$, можна зробити висновок, що рівняння кінетики процесу гідратуутворення адекватно відтворює результати експерименту.

За критерієм t -відношення Стьюдента встановлюємо статистичну достовірність різниці двох середніх експериментальних даних за формулою

$$t = \frac{\bar{x} - \bar{y}}{S_d}, \quad (19)$$

де $S_d = \sqrt{S_x^2 + S_y^2}$, S_x^2, S_y^2 – оцінки дисперсій;

$$S_d = \sqrt{S_x^2 + S_y^2} = \sqrt{\frac{\sum (x_i - \bar{x}) + (y_i - \bar{y})^2}{(n-1) \cdot 2}} =$$

$$= \sqrt{\frac{(29,938 + 0,1661 + 2,399) + 0,3745}{(20-1) \cdot 2}} = 0,930. \quad (20)$$

Критерій Стьюдента

$$t = \frac{(1,910 + 0,0661 + 0,463) - 0,338}{0,930} = 2,26. \quad (21)$$

Порівняння розрахункового значення критерія Стьюдента з табличним, для даного числа степенів свободи

$$f = (n-1) \cdot 2 = (20-1) \cdot 2 = 38 \quad t_T = 3,980 > t = 2,26$$

показує, що виконується вимога достовірності експериментальних значень для відповідної вибірки.

Середню відносну похибку визначення r за рівнянням (13) розраховуємо за формулою:

$$\bar{\varepsilon} = \frac{100}{n} \cdot \sum_1^n \left(\frac{r_i - \bar{r}}{r_i} \right), \quad (22)$$

де r_i, \bar{r} – експериментальне і середнє значення вихідного параметра

$$\varepsilon = \frac{100}{20} \cdot \sum_1^n \left(\frac{6,7654 - 0,3378}{6,7654} \right) = 4,8\%. \quad (23)$$

Порівняння розрахункових і експериментальних значень швидкості гідратування наведено на рисунку 4

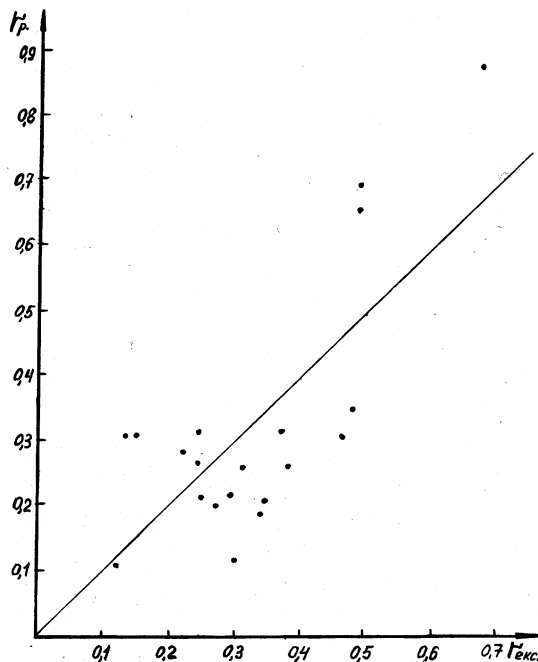


Рисунок 4 – Порівняння розрахункових і експериментальних значень швидкості гідратування

III. ВИСНОВКИ

Розглянуто використання методу отримання рівняння кінетики гідратування шляхом обробки неранжированих експериментальних даних за алгоритмом Брандона.

Підтверджена адекватність отриманого рівняння кінетики в межах вихідних експериментальних даних з середньою відносною похибкою визначення швидкості гідратування 4,8%.

ЛІТЕРАТУРА

1. **Клименко В.В.** Науково-технічні основи газгідратної технології (термодинаміка та кінетика процесів, схемні рішення): автореф. дис. докт. техн. наук: 05.14.06. – К., 2012. – 40 с.
2. **Бык С.Ш., Макогон Ю.Ф., Фомина В.И.** Газовые гидраты. – М.: Химия, 1980. – 296 с.
3. **Brandon D.B.** Developing mathematical models for computer control // Instrument Society of America (ISA) Journal. 1959. V.6. № 7. P. 70-73.
4. **Поляков Б.Н.** Некоторые особенности аппроксимации функций двух переменных в алгоритме «Метод Брандона» / Б.Н. Поляков // Прикладная информатика. – 2008. – № 6(18). – С. 103-105.
5. **Клименко В.В.** Экспериментальная оценка процесса гидратообразования при аккумуляции холода / В.В. Клименко // Холодильная техника. – 1986. – № 10. – С. 33-36.
6. **Мисак В.Ф.** Методи ідентифікації статичних характеристик об'єктів керування. Навчальний посібник. – К.: НТУ КПІ, 2009. – 62 с.
7. **Налимов В.В., Чернова Н.А.** Статистические методы планирования экстремальных экспериментов. – М.: Наука, 1965. – 340 с.

REFERENCE

1. **Klymenko V.V.** Naukovo-tehnichni osnovy gazgidratnoi tehnologii (termodinamika ta kinetika procesiv, shemni rishennya): avtoref. dis. doct. tehn. nauk: 05.14.06. – K., 2012. – 40 s.
2. **Byk S. Sh., Makogon Y.F., Fomina V.I.** Gazovye gidraty. – M.: Himiya, 1980. – 296 s.
3. **Brandon D.B.** Developing mathematical models for computer control // Instrument Society of America (ISA) Journal. 1959. V.6. № 7. P. 70-73.
4. **Polyakov B.N.** Nekotorie osobennosti aproksimacii funkciy dvuh peremennih v algoritme “Metod Brandona” / B. N. Polyakov // Prikladnaya informatika. – 2008. - № 6(18). – S. 103-105.
5. **Klymenko V.V.** Eksperimentalnaya ocenka gidratoobrazovaniya pri akumulirovani holoda / V.V. Klymenko // Holodilnaya tehnika. – 1986. - № 10. – S. 33-36.
6. **Mysak V.F.** Metody identifikacii statichnih harakteristik obektiv keruvannya. Navchalniy posibnyk. – K.: NTU KPI, 2009. – 62 s.
7. **Nalimov V.V., Chernova N.A.** Statisticheskie metody planirovaniya extremalnih experimentov . – M.: Nauka, 1965. – 340 s.